

РАСЧЕТ ФРАГМЕНТА ТОРОИДАЛЬНОЙ ОБОЛОЧКИ С ЛОКАЛЬНЫМ ВНУТРЕННИМ УГЛУБЛЕНИЕМ

Якупов¹ Н. М., Киямов¹ Х. Г., Мухамедова^{1,2} И. З.

¹*Институт механики и машиностроения КазНЦ РАН,*

²*Казанский государственный архитектурно-строительный университет*

Трехмерный сплайновый вариант метода конечных элементов применен для определения напряженно-деформированного состояния тороидальной оболочки с локальным углублением на внутренней поверхности. Выполнены численные эксперименты, отмечены закономерности изменения напряженно-деформированного состояния оболочки при изменении геометрических параметров углубления.

Введение. Наличие различных дефектов, в частности, углублений в элементах конструкций, приводит к концентрации напряжений в этой области, что может стать причиной разрушения конструкции [1; 2]. Экспериментальному и теоретическому исследованию оболочечных конструкций с дефектами различного рода посвящены, в частности, работы [3–9].

В оболочках, предназначенных для хранения и транспортировки различных жидких сред, на внутренней поверхности возникают локальные коррозионные углубления. Концентрация напряжений в области локальных углублений может стать источником разрушения. В связи с этим большой научный и практический интерес представляют исследования по определению напряженно-деформированного состояния (НДС) в оболочках при локальном изменении их геометрических параметров, в частности, в области локальных углублений.

Несквозные трещиновидные дефекты в тонкостенных оболочках рассмотрены в [4], дефектные зоны в трубопроводах исследованы в [5].

Многие исследования по оценке НДС тонкостенных конструкций проводятся на основе метода конечных элементов (МКЭ). Оболочечные конечные элементы рассмотрены, в частности в монографиях [7; 8]. Идея двумерного сплайнового варианта МКЭ, сочетающая параметризацию срединной поверхности всей рассматриваемой области и метод конечных элементов с бикубической аппроксимацией искомых переменных в пределах каждого элемента, была изложена в [10–12]. Расчеты оболочек сложной формы в двумерной постановке методом конечных разностей приведены в [9].

Однако для оценки НДС элементов тонкостенных конструкций с локальными несквозными дефектами необходимо исследовать в трехмерной постановке, в частности, как в [6; 13–15]. В работе [16] рассмотрена методика расчета тороидальных оболочек на основе МКЭ с изломом срединной

поверхности. В [17] расчет оболочек произведен с применением объемного восьмиугольного конечного элемента. Для произвольно нагруженной оболочки вращения в [18] разработан шестигранный объемный конечный элемент с неизвестными в виде перемещений и напряжений. В работе [19] изложен алгоритм расчета конструкции в форме эллиптического цилиндра на основе МКЭ с интерполяцией полей перемещений, в котором используется четырехугольный криволинейный конечный элемент с восемнадцатью степенями свободы в узле.

В данной работе исследовано НДС тороидальной оболочки с локальным углублением, расположенным на внутренней поверхности оболочки в трехмерной постановке и выполнены численные эксперименты.

Основные соотношения трехмерного сплайнового варианта метода конечных элементов. Трехмерный сплайновый вариант МКЭ сочетает параметризацию всей рассматриваемой трехмерной области и метод конечных элементов с кубической аппроксимацией искомых переменных.

Радиус-вектор точки рассматриваемой трехмерной области фрагмента тороидальной оболочки толщиной h запишем в виде:

$$\bar{r} = [R_n + (R_o + hz) \cos(\beta)] (\cos \alpha \bar{i} + \sin \alpha \bar{j}) + (R_o + hz) \sin(\beta) \bar{k}, \quad (1)$$

$$\alpha = \frac{\pi t^2}{2}, \quad \beta = \pi t^1, \quad z = t^3 \quad t^1 \in [-1; 1], \quad t^2 \in [0; 1], \quad t^3 \in [0; 1],$$

где R_o – радиус окружности в поперечном сечении оболочки, R_n – расстояние от оси вращения до центра образующей окружности (рисунок 1).

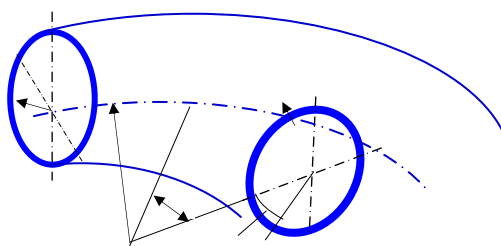


Рис. 1. Фрагмент тороидальной оболочки

Формула (1) вводит криволинейные координаты t^1, t^2, t^3 , в которых образ тела оболочки представляет собой единичный куб. Радиус-вектор точки оболочки с локальным углублением представим следующим образом:

$$\begin{aligned} \bar{r}_d = & \left\{ R_n + [R_o + hz - h_p e^{-\chi}(z-1)] \cos(\beta) \right\} (\cos \alpha \bar{i} + \sin \alpha \bar{j}) + \\ & + [R_o + hz - h_p e^{-\chi}(z-1)] \sin(\beta) \bar{k}, \quad \alpha = \frac{\pi t^2}{2}, \beta = \pi t^1, z = t^3 \end{aligned} \quad (2)$$

$$\chi = \gamma \left[\frac{(t^2 - t_p^2)^2}{a^2} + \frac{(t^1 - t_p^1)^2}{b^2} \right], \quad t^1 \in [0;1], t^2 \in [0;1], t^3 \in [0;1].$$

Здесь a, b, γ – параметры, характеризующие дефект; t_p^1, t_p^2 – координаты центра дефектной области; h_p – минимальная толщина оболочки в дефектной области в точке $t^1 = t_p^1, t^2 = t_p^2$.

Дифференцируя соотношения (1) и (2) по t^1, t^2, t^3 , определяем ковариантные компоненты метрического тензора g_{ij} :

$$\begin{aligned} g_{11} = & \left(\frac{\partial \bar{r}}{\partial t^1} \right)^2, \quad g_{12} = \frac{\partial \bar{r}}{\partial t^1} \frac{\partial \bar{r}}{\partial t^2}, \quad g_{22} = \left(\frac{\partial \bar{r}}{\partial t^2} \right)^2, \\ g_{13} = & \frac{\partial \bar{r}}{\partial t^1} \frac{\partial \bar{r}}{\partial t^3}, \quad g_{23} = \frac{\partial \bar{r}}{\partial t^2} \frac{\partial \bar{r}}{\partial t^3}, \quad g_{33} = \left(\frac{\partial \bar{r}}{\partial t^3} \right)^2. \end{aligned} \quad (3)$$

Исходя из (3), определяем символы Кристоффеля:

$$\Gamma_{jk}^i = \frac{g^{it}}{2} \left(\frac{\partial g_{jt}}{\partial t^k} + \frac{\partial g_{kt}}{\partial t^j} + \frac{\partial g_{jk}}{\partial t^t} \right). \quad (4)$$

Разрешающие соотношения выводим из вариационного уравнения Лагранжа:

$$\delta \int_V W dV = \int_V \rho f^i \delta u_i dV + \int_S p^i \delta u_i dS, \quad (5)$$

где W – удельная потенциальная энергия деформации трехмерного тела;

f^i, p^i – компоненты вектора массовых и поверхностных сил;

ρ – массовая плотность;

u_i – компоненты вектора искомым переменных;

S – поверхность боковых граней тела.

Рассматриваемую область единичного куба разбиваем на конечные элементы и решение $u_1 = u, u_2 = v$ и $u_3 = w$ в каждом из них представляем в виде интерполяционного кубического сплайна трех переменных [11–13]:

$$\begin{aligned}
u &= \left[\psi_1(s^1) \times \psi_2(s^2) \times \psi_3(s^3) \right] \otimes F_U, \\
v &= \left[\psi_1(s^1) \times \psi_2(s^2) \times \psi_3(s^3) \right] \otimes F_V, \\
w &= \left[\psi_1(s^1) \times \psi_2(s^2) \times \psi_3(s^3) \right] \otimes F_W, \\
s^1 &= \frac{t^1 - t_i^1}{h_i^1}, \quad s^2 = \frac{t^2 - t_j^2}{h_j^2}, \quad s^3 = \frac{t^3 - t_k^3}{h_k^3}, \quad h_i^1 = t^1 - t_i^1, \quad h_j^2 = t^2 - t_j^2, \quad h_k^3 = t^3 - t_k^3,
\end{aligned} \tag{6}$$

где ψ_1, ψ_2, ψ_3 – векторы координатных функций по трем соответствующим координатным линиям;

F_U, F_V, F_W – трехмерные матрицы компонент искомым неизвестных u, v, w и его производных соответственно.

Подставляя вариации перемещений и деформаций, учитывая независимость узловых перемещений и их производных, после ряда преобразований задача сводится к системе алгебраических уравнений вида

$$[A] \{U\} = \{R\}, \tag{7}$$

где $[A]$ – матрица жесткости системы ленточной структуры, $\{U\}$ – вектор неизвестных, $\{R\}$ – вектор нагрузки.

Сплайновый вариант МКЭ обеспечивает непрерывность полей перемещения и его первых производных в рассматриваемом пространстве исследуемого тела, что позволяет получать необходимые результаты при не большом количестве конечных элементов [11; 14].

Численные эксперименты. Рассмотрена часть тороидальной оболочки, жестко заземленной по торцам наружной поверхности. Оболочка находится под внутренним давлением $p = 100$ кГ/см². Параметры оболочки: модуль упругости $E = 2 \cdot 100 \cdot 000$ кГ/см²; коэффициент Пуассона $\nu = 0,3$; толщина $h = 0,9$ см; радиусы $R_n = 123$ см, $R_0 = 41$ см (рисунок 1). Разбиение на конечные элементы: 8 – по t^1 , 8 – по t^2 , 1 – по t^3 . Численные эксперименты проведены для оболочки с локальным углублением на внутренней поверхности при $a = b = d/2$. Рассмотрены диаметры зоны углубления: $d = 18$ см; $d = 24$ см; $d = 30$ см при глубинах дефекта $t = 0,2h, 0,4h, 0,6h$, где $h = 0,9$ см – толщина стенки трубы, $t = h - h_p$.

Исследовано 3 варианта расположения внутреннего дефекта (рисунок 2): Для варианта 1 центром дефекта в угловых координатах α и β , выбрана точка $(0, \pi/4)$, для варианта 2 – $(-\pi/2, \pi/4)$, для варианта 3 – $(\pi, \pi/4)$. На рисунке 3 приведены точки области дефекта (1, 2, 3, 4, 5) в которых вычисляются интенсивности напряжений.

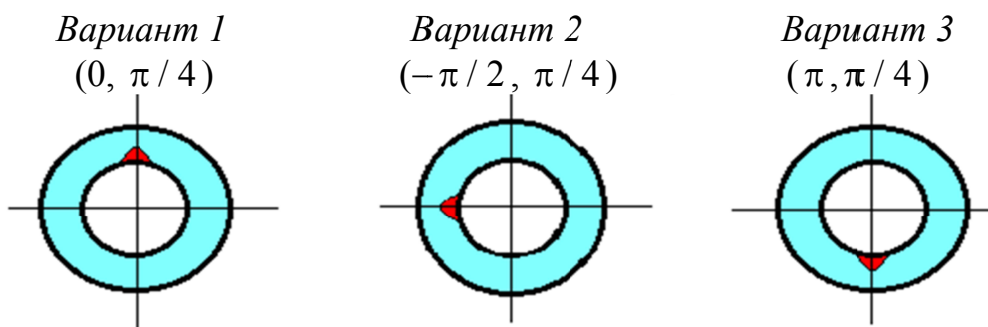


Рис. 2. Схемы расположения внутреннего дефекта в поперечном сечении тороидальной оболочки

Изменения интенсивности напряжений по толщине оболочки в области дефекта в точках 1, 2, 3, 4, 5 (по рисунку 3) приведены на рисунке 4.

Анализ результатов показал, что для *варианта 1* и *варианта 2* в контрольных точках 1, 2, 3 при увеличении глубины дефекта интенсивность напряжений σ_i увеличивается на 20–30 %, а в точках 4, 5 интенсивность напряжений, наоборот, уменьшается на 2–10 %.

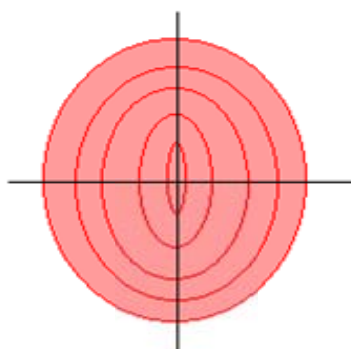


Рис. 3. Область дефекта эллиптической формы

На рисунке 4 для *варианта 1* представлена зависимость интенсивности напряжений σ_i при варьировании параметра t^2 в диапазоне от $0 \leq t^2 \leq \pi/2$.

Как видно из рисунка 5 при увеличении глубины дефекта интенсивность напряжений в области дефекта растет.

На рисунке 6 приведена зависимость изменения интенсивности напряжений σ_i при варьировании окружной координаты в поперечном сечении оболочки: $-\pi \leq t^1 \leq 0$.

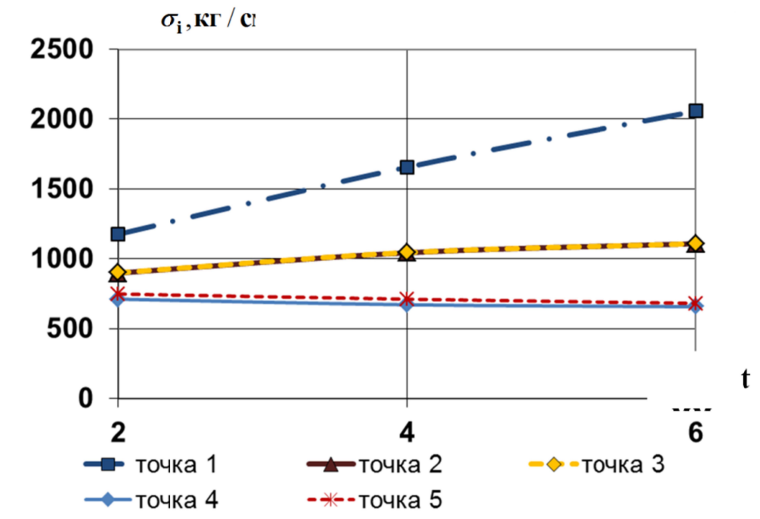


Рис. 4. Зависимость интенсивности напряжений σ_i от глубины дефекта t в контрольных точках дефектной области.
 $d = 18$ мм; $h = 8,1$ мм

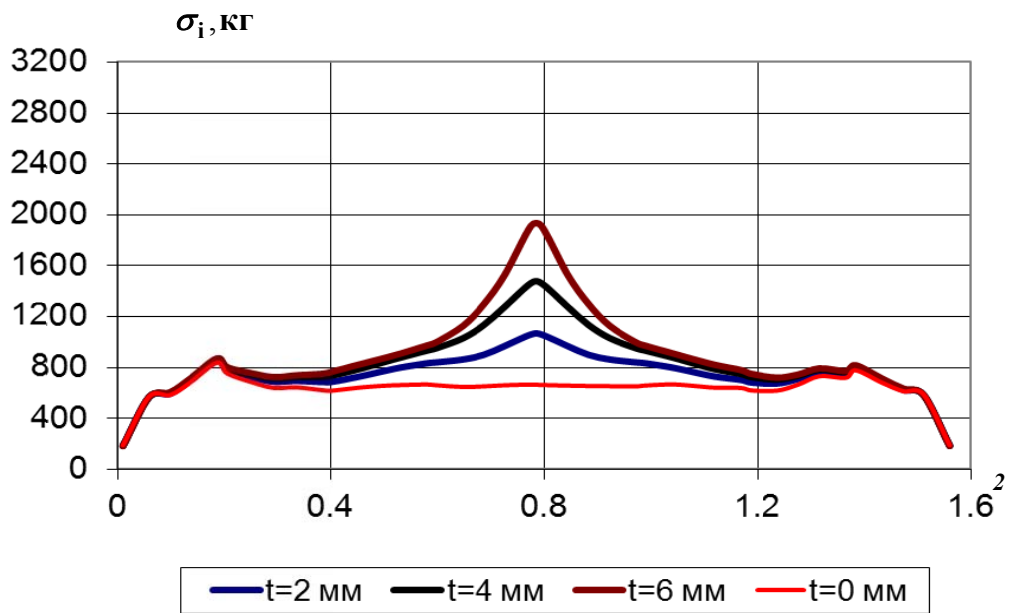


Рис. 5. Зависимость интенсивности напряжений σ_i от параметра t^2 в диапазоне от $0 \leq t^2 \leq \pi/2$ ($d = 18$ см; $h = 8,1$ мм)

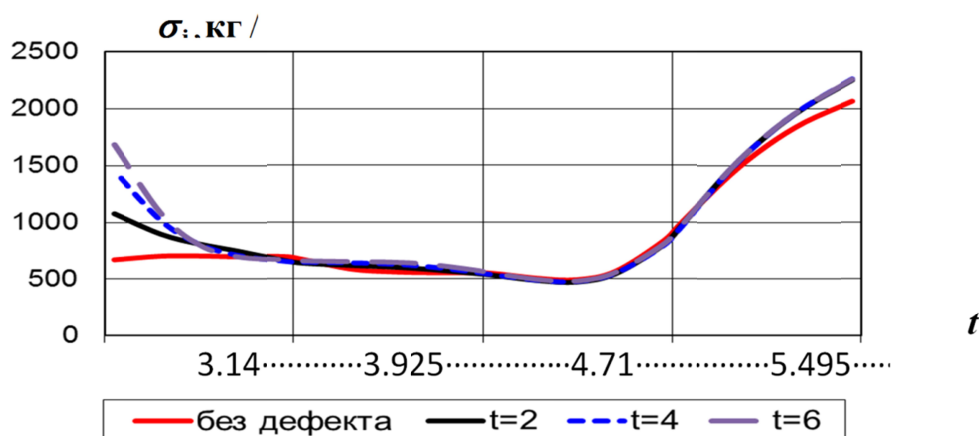


Рис. 6. Зависимость интенсивности напряжений σ_i от параметра t^1 в диапазоне от $-\pi \leq t^1 \leq 0$, $d = 18$ см; $h = 0,9$ мм

Графики построены при варьировании глубины дефекта. Выявлено, что при увеличении глубины дефекта интенсивность напряжений σ_i в области дефекта растет, а в других областях по окружной координате оболочки практически не изменяется.

Заключение

1. Трехмерный сплайновый вариант метода конечных элементов применен для оценки НДС тороидальной оболочки с локальным углублением на внутренней поверхности.

2. Выполнены численные эксперименты по определению НДС в области дефекта в виде локального углубления, расположенного на внутренней поверхности оболочки, в зависимости от расположения и параметров углубления.

3. Установлены закономерности изменения напряженно-деформированного состояния оболочки при изменении геометрических параметров углубления.

ЛИТЕРАТУРА

1. Расчеты на прочность в машиностроении / С. Д. Пономарев [и др.]. – М. : ГНТИ Машиностроительной литературы. – 1959. – Т. 3. – 1119 с.

2. Collins, J. A. Failure of Materials in Mechanical Design. Analysis, Prediction, Prevention / J. A. Collins; The Ohio State University – New York : J. Wiley & Sons. – 1981. – 624 с.

3. Седова, О. С. Новая модель механохимической коррозии тонкостенных оболочек / О. С. Седова // Процессы управления и устойчивость. 2016. – Т. 3, № 1. – С. 265–269.

4. Яковлев, А. С. Тонкостенные оболочки с несквозными трещиновидными дефектами в приближении Дагдейла / А. С. Яковлев // Вестник Са-

марского государственного университета. Естественнонаучная серия. 2013. – № 9–2 (110). – С. 140–146.

5. Игнатик, А. А. Экспериментальное и теоретическое исследование деформированного состояния дефектных зон трубопровода / А. А. Игнатик // Наука и технологии трубопроводного транспорта нефти и нефтепродуктов. – 2018. – Т. 8. – № 2. – С. 147–153.

6. Якупов, С. Н. Анализ концентрации напряжений в тонкостенных элементах конструкций с локальным углублением / С. Н. Якупов, Т. Р. Насибуллин // Строительная механика инженерных конструкций и сооружений. – 2016. – № 1. – С. 30–36.

7. Рикардс, Р. Б. Метод конечных элементов в теории оболочек и пластин / Р. Б. Рикардс – Рига : Зинанте, 1988. – 284 с.

8. Голованов, А. И. Современные конечно-элементные модели и методы исследования тонкостенных конструкций / А. И. Голованов, А. В. Песошин, О. Н. Тюленева – Казань : КГУ, 2005. – 442 с.

9. Расчет оболочек сложной формы / В. И. Гуляев, В. А. Баженов, Е. А. Гоцуляк, В. В. Гайдайчук – Киев : Будивэльнык, 1990. – 190 с.

10. Якупов, Н. М. Об одном методе расчета оболочек сложной геометрии / Н. М. Якупов // Исследования по теории оболочек. Тр. семинара, в. 17, Ч. II. – Казань, 1984. – С. 4–17.

11. Корнишин, М. С. Сплайновый вариант метода конечных элементов для расчета оболочек сложной геометрии / М. С. Корнишин, Н. М. Якупов // Прикладная механика. – 1987. – Т. 23, № 3. – С. 38–44.

12. Корнишин, М. С. К расчету оболочек сложной геометрии в цилиндрических координатах на основе сплайнового варианта МКЭ / М. С. Корнишин, Н. М. Якупов // Прикладная механика. – 1989. – Т. 25, № 8. – С. 53–60.

13. Методы и подходы исследования напряженно-деформированного состояния конструкций сложной геометрии / Н. М. Якупов, Х. Г. Киямов, Ш. Ш. Галявиев, Р. З. Хисамов // Строительство. Известия ВУЗов. – № 8 (524). – 2002. – С. 14–18.

14. Моделирование элементов конструкций сложной геометрии трехмерными конечными элементами / Н. М. Якупов, Х. Г. Киямов, С. Н. Якупов, И. Х. Киямов // Механика композиционных материалов и конструкций. – 2011. – Т. 17, № 1. – С. 145–154.

15. Yakupov, N. M. Modelling of cyclic shells with complex geometry three-dimensional finite elements / N. M. Yakupov, H. G. Kiyamov, S. N. Yakupov // Journal of Physics: Conference series. – 2019. – 1158. – 042038.

16. Масленников, А. М. Напряженно-деформированное состояние тороидальных оболочек с изломами срединной поверхности / А. М. Масленников, Д. В. Гамилов // Вестник ТГАСУ. – 2007. – № 1. – С. 90–93.

17. Николаев, А. П. К расчету оболочек на основе метода конечных элементов / А. П. Николаев, А. П. Киселев // Вестник Российского университета дружбы народов, сер. Инженерные исследования. – 2002. – С. 107–111.

18. Гуреева, Н. А. Расчет оболочки вращения при произвольном нагружении с использованием МКЭ на основе функционала Рейснера / Н. А. Гуреева, Ю. В. Клочков, А. П. Николаев // Вычислительные технологии. – 2008. – Т. 13, № 4. – С. 51–59.

19. Клочков, Ю. В. Напряженно-деформированное состояние эллиптического цилиндра с эллипсоидальным днищем из разнородных материалов на основе МКЭ / Ю. В. Клочков, А. П. Николаев, Т. А. Киселева // Изв. Саратов. ун-та. Новая серия. Серия Математика. Механика. Информатика. – 2013. – Т. 13, вып. 3. – С. 65–70.

Поступила: 20.03.2024